

**Politecnico di Bari**  
**Facoltà di Ingegneria**  
**Corso di laurea in Ingegneria Elettronica**

---

*Tesi di laurea*

***Simulazioni di protocolli di  
compressione dell' header per sistemi  
wireless basati su piattaforma TCP/IP***

**Relatore:**

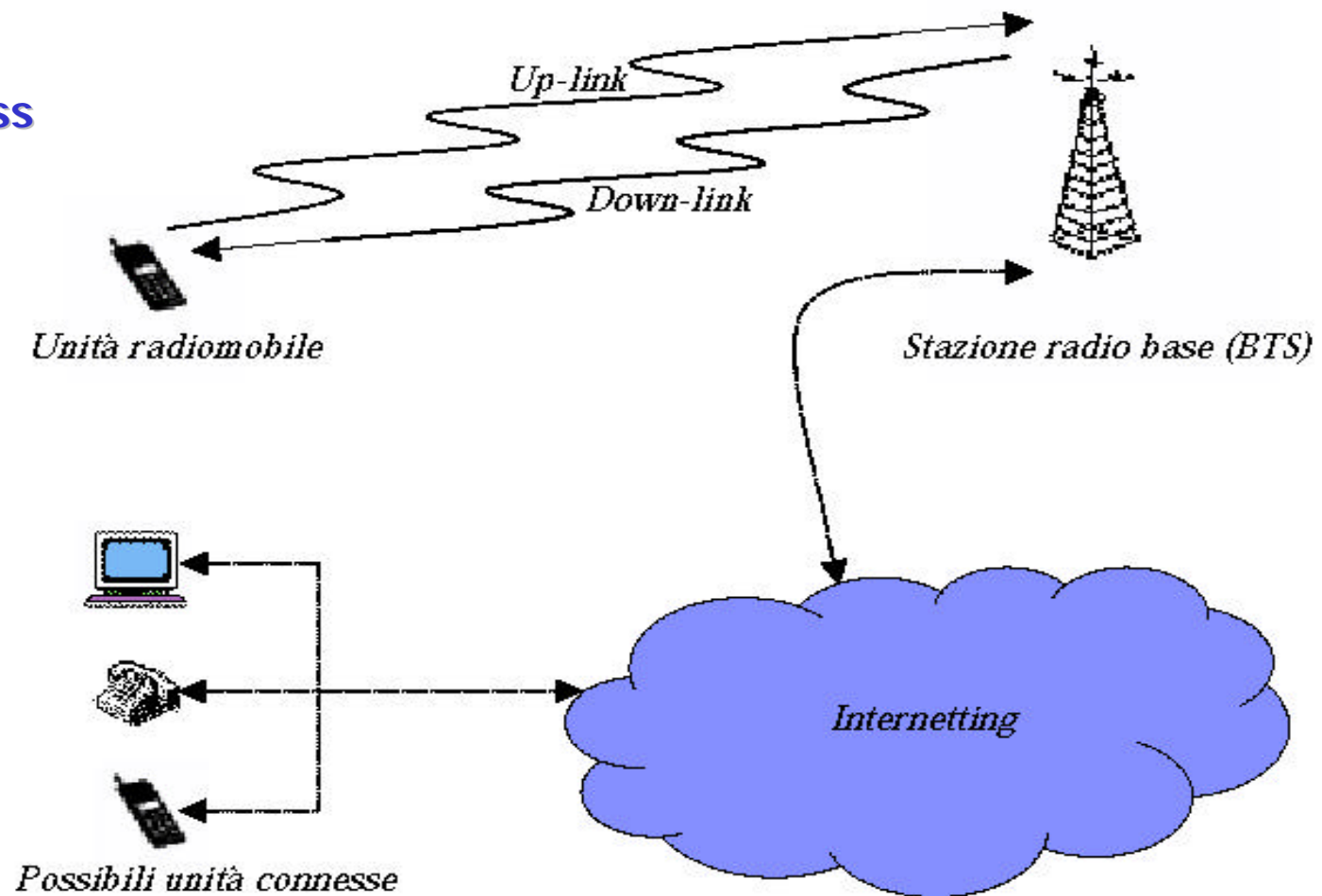
**Chiar.mo Prof. Pietro Camarda**

**Laureando:**

**Sandro Petrizzelli**

## Scenario tipico per una rete wired-wireless

1. Rete mista wired-wireless
2. Rete "all-IP"



# Perché comprimere l'header?

1. Per risparmiare banda
2. Per migliorare il FER

## 1. La riduzione dell'overhead dell'header equivale ad un risparmio di banda

$$Banda_{TOTsc} = \frac{H + P}{T} = (H + P) \cdot f_r = H \cdot f_r + P \cdot f_r = Banda_{Header} + Banda_{Utile}$$

$$OVERHEAD\% = \frac{H}{H + P} \cdot 100 = \frac{H}{H + P} \cdot \frac{f_r}{f_r} = \frac{Banda_{Header}}{Banda_{TOTsc}} \cdot 100$$

## 2. A parità di caratteristiche di rumore (BER, Bit Error Rate), la compressione permette di trasmettere meno bit e quindi determina un FER (Frame Error Rate) inferiore

$$\begin{aligned}
 & BER = x \\
 & FER = (P + H) \cdot 8 \cdot BER \\
 & FER_c = (P + C) \cdot 8 \cdot BER \\
 & \%FER\% = \frac{FER - FER_c}{FER} = \frac{H - C}{H + P}
 \end{aligned}$$

P il payload (in byte);

H la dimensione dell' header (in byte);

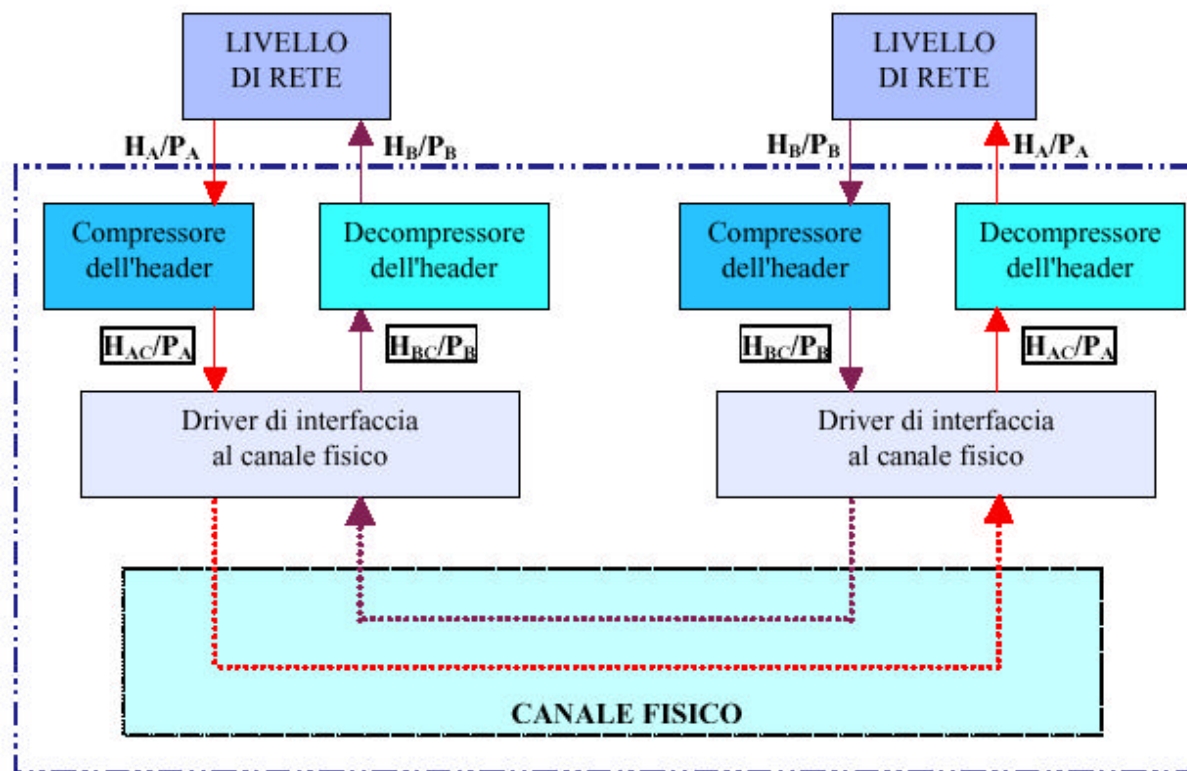
C la dimensione dell' header compresso (in byte);

$FER = (P + H) \cdot 8 \cdot BER$ ;

$FER_c$  è il FER in presenza di compressione dell' header;

$\%FER\%$  è il miglioramento del FER.

# Architettura TCP/IP con *unità di compressione/decompressione*



**Regione di comprimibilità dell'header:** delimita la sezione entro cui gli header, fino al livello rete, non esplicano alcuna funzione

$P_A$  = Payload generato dal processo A

$H_A$  = Pila di header fino al livello rete

$H_{AC}/P_A$  = pacchetto con header compresso, da inviare sul canale



# Algoritmo ROHC (RObust Header Compression)

## Riferimenti principali

---

- ✍ **RFC 3095** (luglio 2001) – ROHC: Framework and four profiles (RTP, UDP, ESP, and uncompressed)
- ✍ **Profilo 1 - RTP/UDP/IP**  
Per la compressione di flussi di tipo RTP/UDP/IP. Definisce anche le linee guida per ogni eventuale nuovo profilo da integrare nello schema ROHC
- ✍ **Profilo 2 - UDP/IP**
- ✍ **Profilo 3 – ESP/IP**
- ✍ **Profilo 0 – Flussi non compressi**

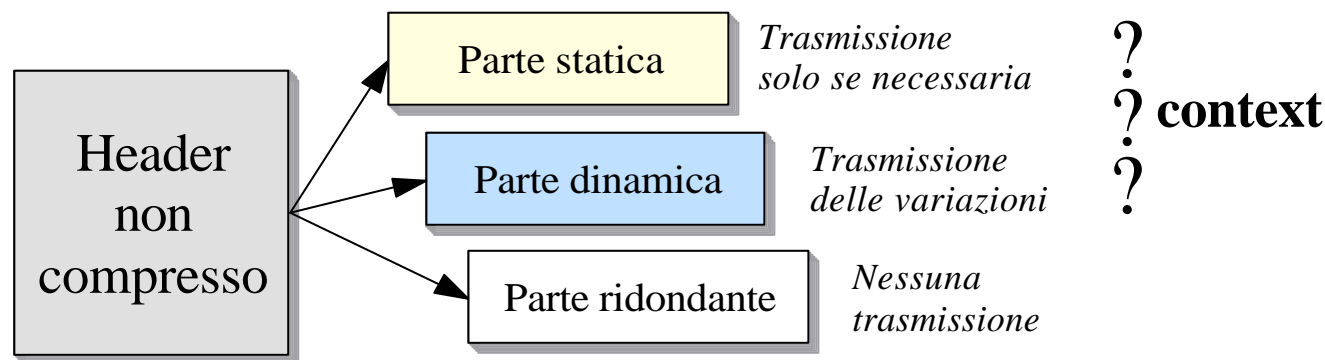
### **Profilo 4 - TCP/IP**

Per la compressione di flussi di tipo TCP/IP

# Algoritmo ROHC

## Generalità

- La compressione sfrutta la **ridondanza** esistente tra i campi dell'header sia nel singolo pacchetto sia soprattutto tra pacchetti dello stesso flusso
- Ai fini della compressione, ognuno degli header gestiti dall'algoritmo viene suddiviso in tre parti: **statica**, **dinamica**, **ridondante**



- L'insieme delle parti statica e dinamica, integrato da informazioni utili aggiuntive, costituisce il **context**. Ogni context è identificato da un numero detto **CID**
- Se i context di decompressore e compressore sono gli stessi (**sincronizzazione**), tutte le decompressioni risultano corrette (a meno di errori residui sul singolo pacchetto)

# Algoritmo ROHC

## Principi cardine per la compressione ROHC

### ✎ Campo "leader" e "regolarizzazione" del flusso

- ✎ In ogni flusso deve esistere un campo dinamico (**campo leader**) sulla base del quale ottimizzare la compressione, caratterizzato da una variazione costante fra pacchetti consecutivi ( $\Delta = 1$ )
- ✎ Quando le variazioni dei campi dinamici, tra pacchetti consecutivi, risultano proporzionali alle variazioni del campo leader, il flusso si dice **regolarizzato** e si invia soltanto la variazione del campo leader, opportunamente codificata
- ✎ Così si ottimizzano sia l'**efficienza** di compressione sia la **robustezza**
- ✎ Nel caso delle connessioni TCP, tale campo non è presente, per cui è stato appositamente introdotto: **SNR** (Sequence Number ROHC, 2 byte)

### ✎ Tecniche di codifica dei campi dinamici

- ✎ Sono fondamentali per aumentare l'efficienza di compressione e, allo stesso tempo, prevenire le perdite di sincronizzazione del decompressore
- ✎ Si usa la tecnica **W-LSB**, ossia la variante più "robusta" della tecnica LSB

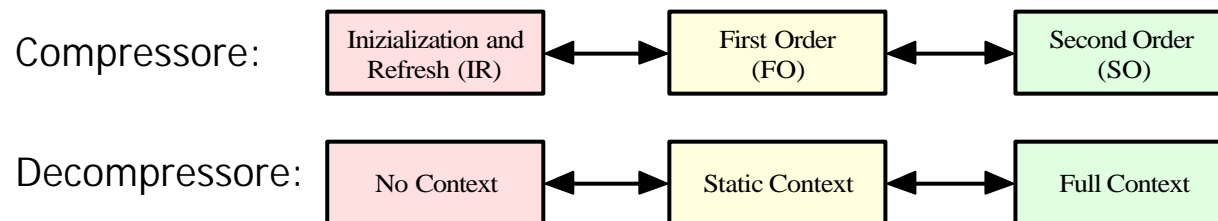
### ✎ Feedback

- ✎ Qualora sia disponibile un **canale di feedback**, il compressore può beneficiare dell'invio di informazioni di feedback da parte del decompressore per mantenere la sincronizzazione e aumentare il rapporto di compressione
- ✎ Si usa un canale virtuale con piggybacking (soluzione efficiente ma meno affidabile)

# Algoritmo ROHC

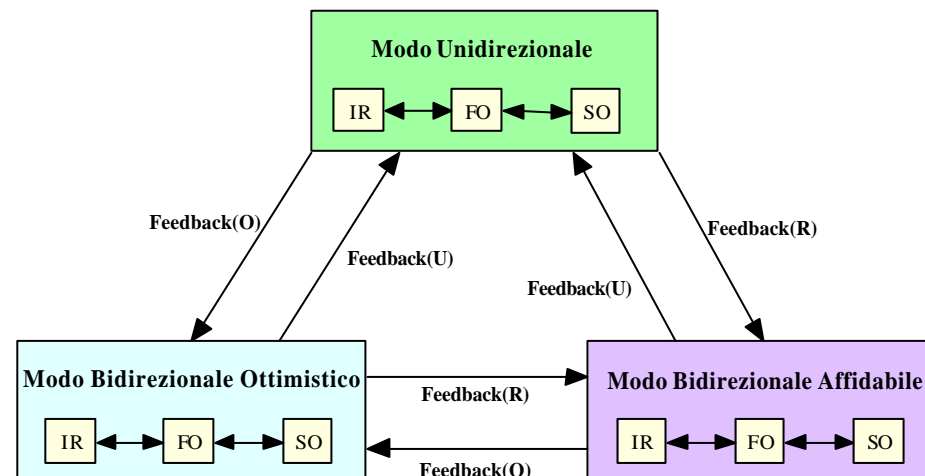
## Macchine a stati e Modalità operative

- La compressione dell'header con l'algoritmo ROHC può essere vista come l'interazione tra due **macchine a stati**, ciascuna con 3 stati:



- I due organi ROHC possono inoltre funzionare in 3 diverse **modalità operative**:

- Unidirezionale
- Bidirezionale Ottimistica
- Bidirezionale Affidabile





# Algoritmo ROHC

## Flussi TCP: *Data stream* e *ACK stream*

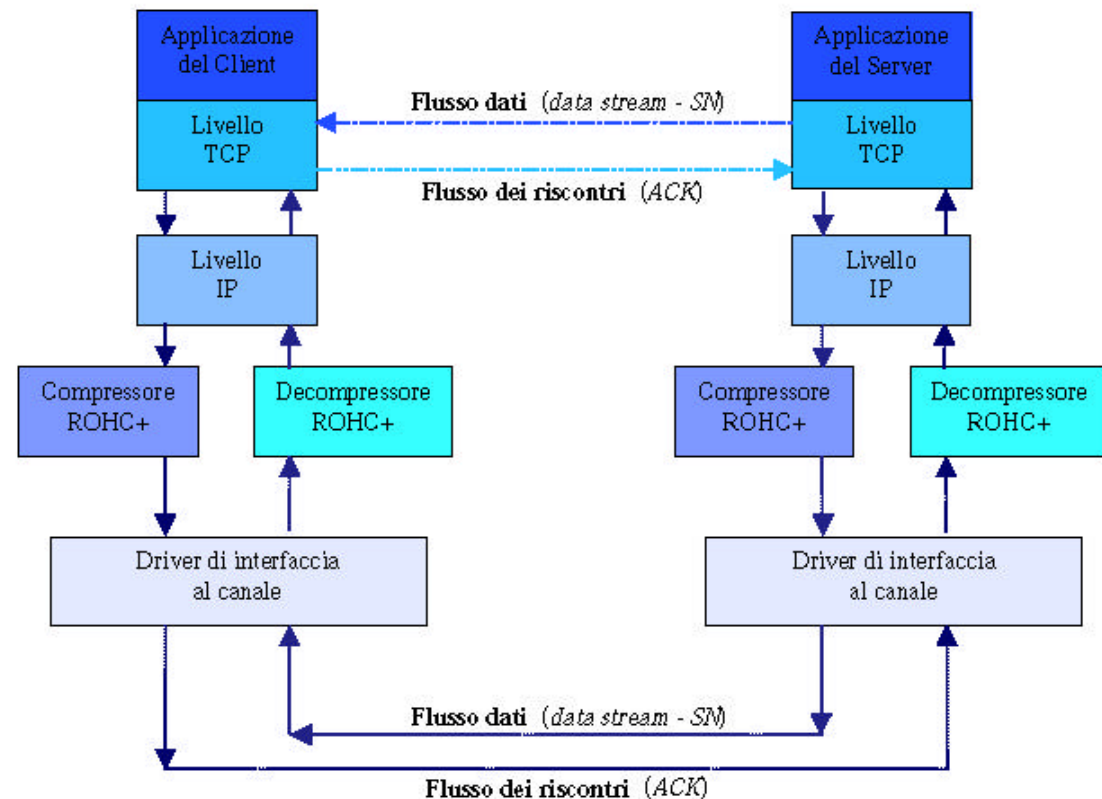
- Il protocollo TCP fornisce un **servizio orientato alla connessione ed affidabile**. Ogni connessione TCP è quindi costituita da due flussi, in direzione opposta, compressi separatamente:

- Data stream**

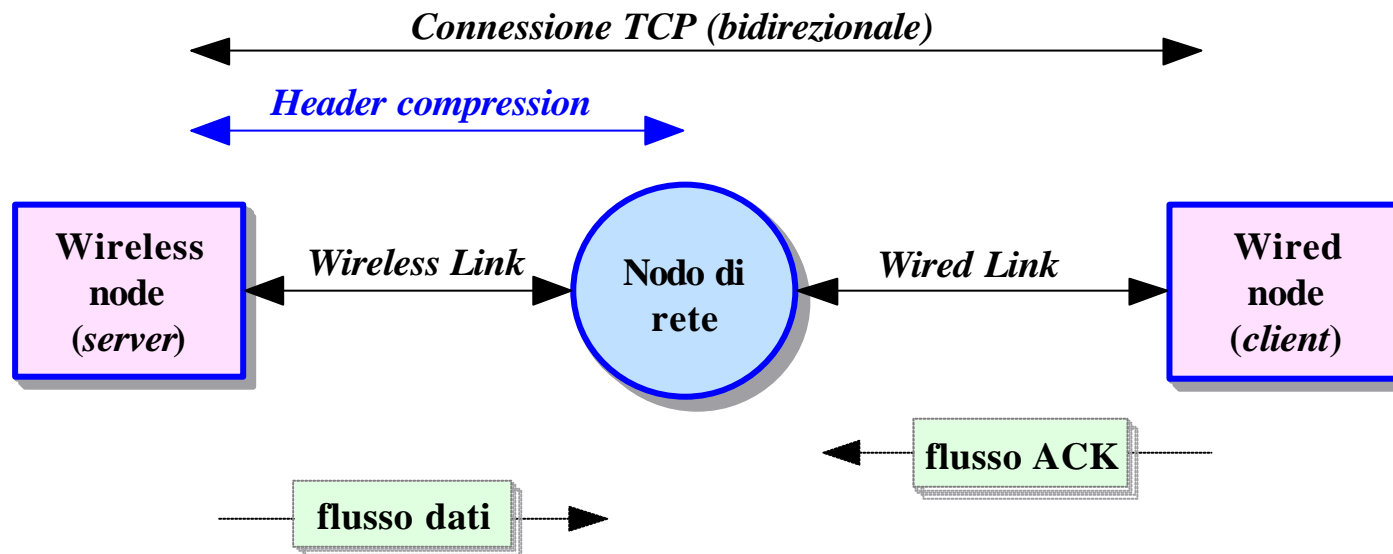
- ACK stream**

La compressione di ciascun flusso ha prestazioni strettamente legate alle variazioni di un **campo chiave**:

- TCP Sequence Number
- TCP ACK Number



# Simulazioni (Network Simulator)



## ✍ Scenario 1 (UMTS):

*wireless link*: banda 384 kb/s,  
ritardo 30 ms, BER  $10^{-6}$ - $10^{-3}$

*wired link*: banda 2 Mb/s,  
ritardo 30 ms, affidabile

## ✍ Scenario 2 (LAN wireless):

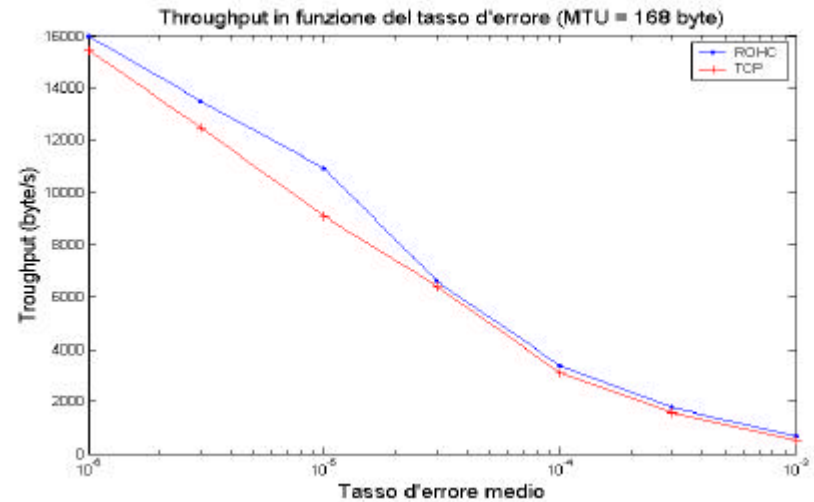
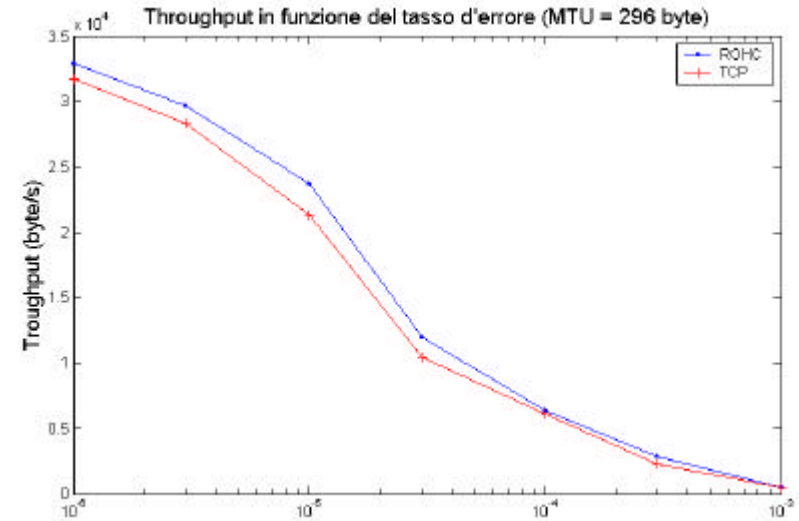
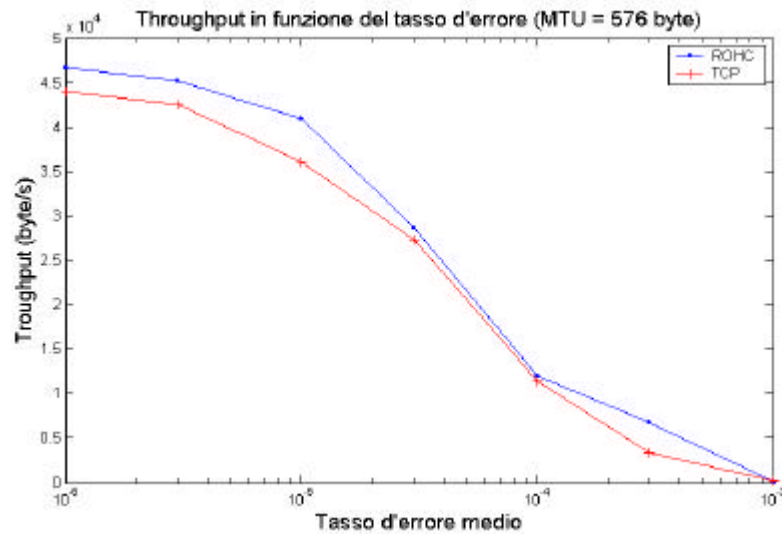
*wireless link*: banda 2 Mb/s,  
ritardo 0.1 ms, BER  $10^{-6}$ - $10^{-3}$

*wired link*: banda 10 Mb/s,  
ritardo 45 ms, affidabile

# Simulazioni scenario 1

## Throughput

(U-mode, MTU=576,296,168byte)

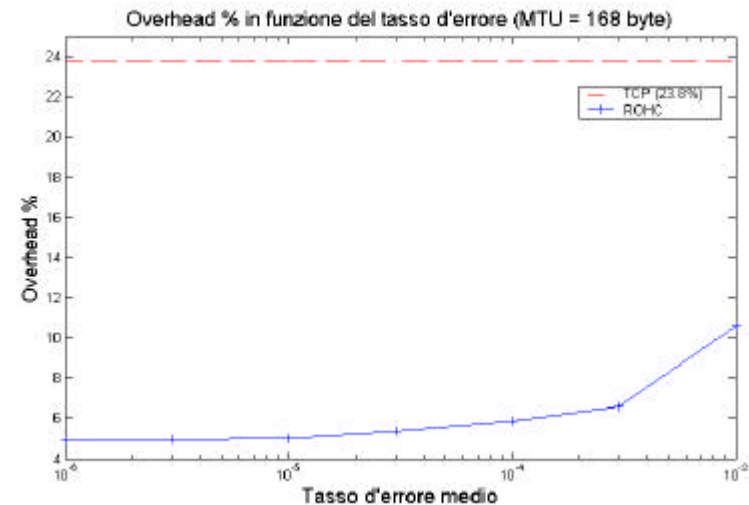
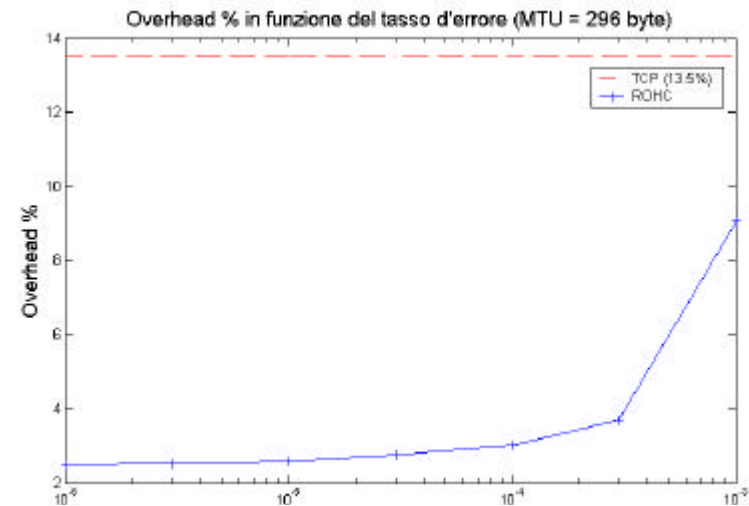
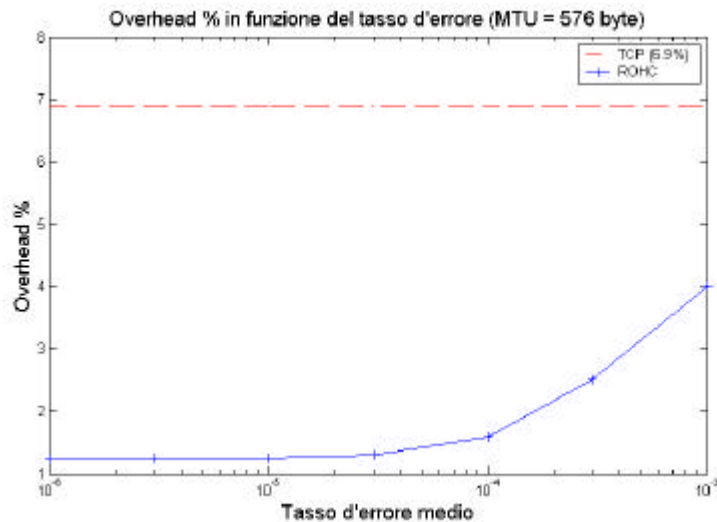


$$\text{Throughput}(\text{byte/s}) ? \frac{P_{\text{recv}}}{T}$$

# Simulazioni scenario 1

## Overhead

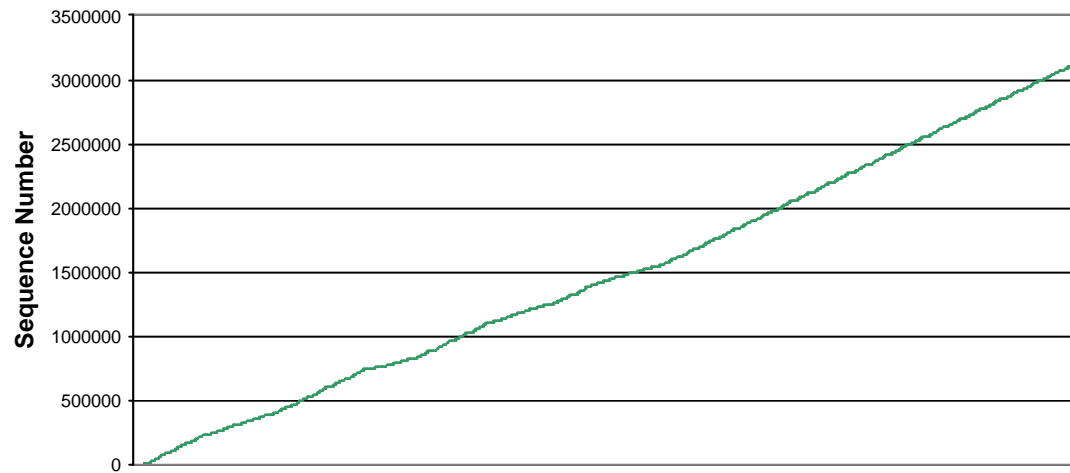
(U-mode, MTU=576,296,168 byte)



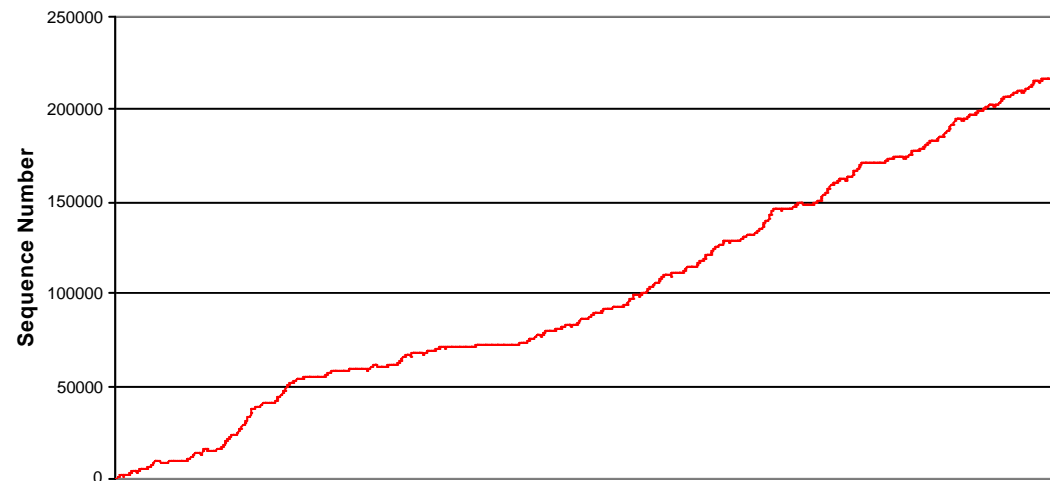
$$Overhead(\%) = \frac{H_{fwd}}{H_{fwd} + P_{fwd}} \cdot 100$$

# Simulazioni scenario 1

Andamento nel tempo del Sequence Number  
(U-mode, MTU=296byte)



BER=10<sup>-6</sup>

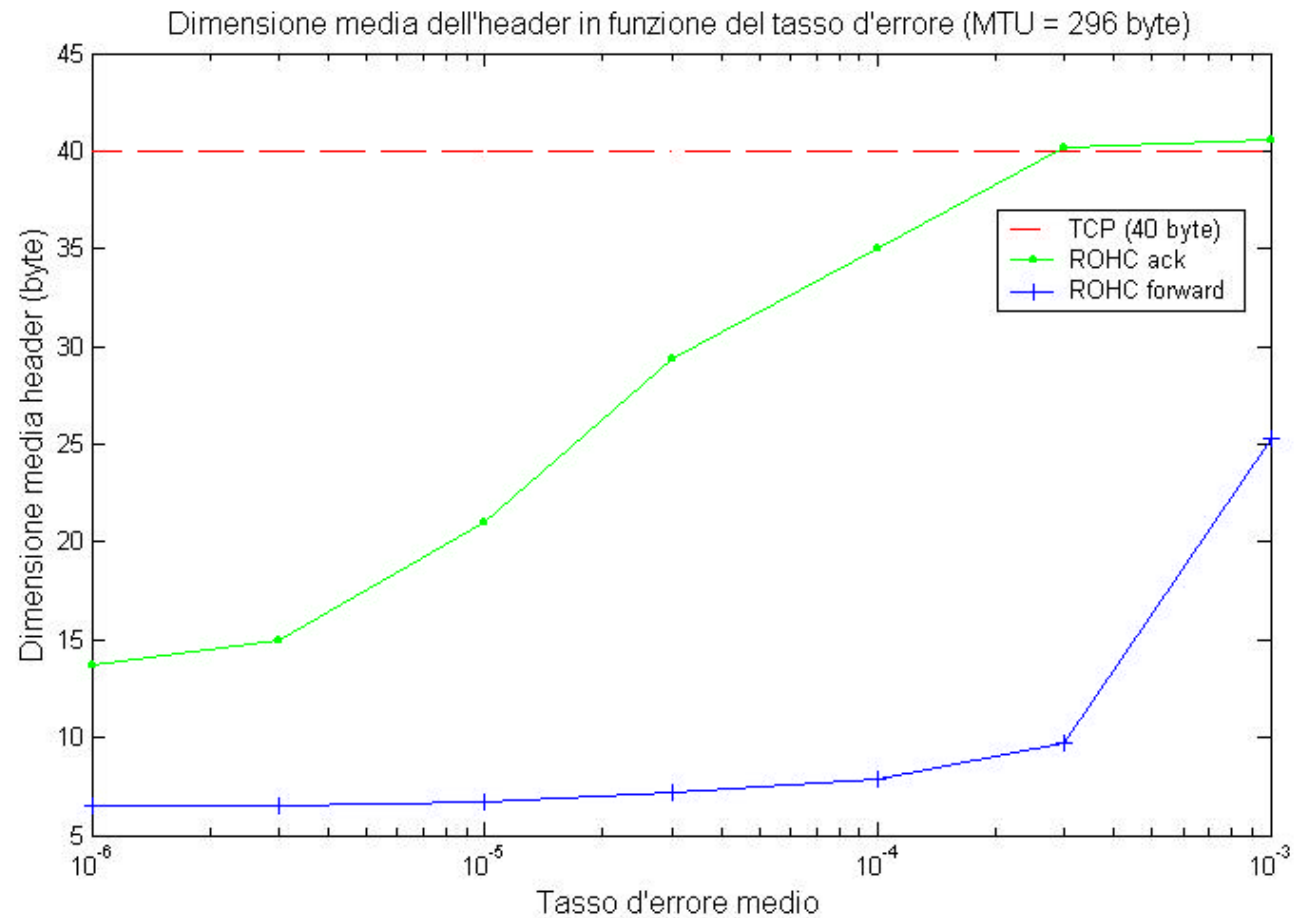


BER=3\*10<sup>-4</sup>

Tempo (ms)

# Simulazioni scenario 1

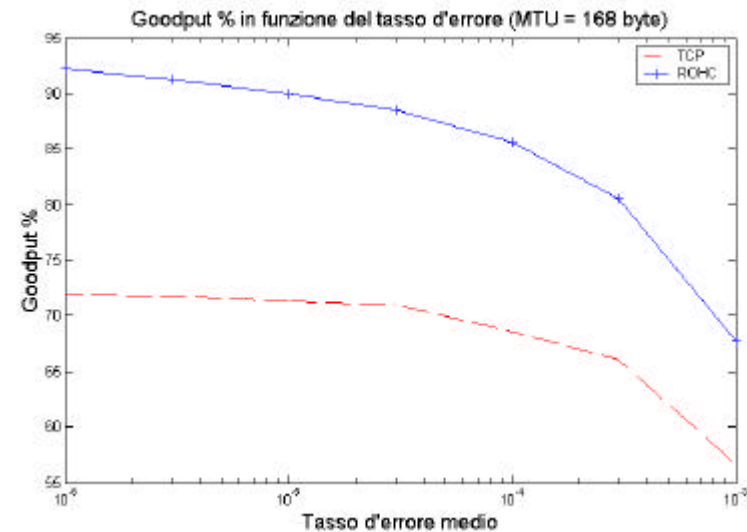
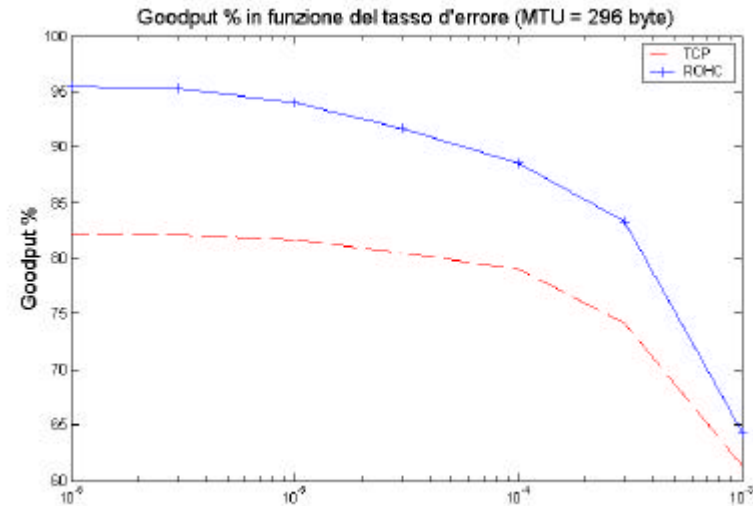
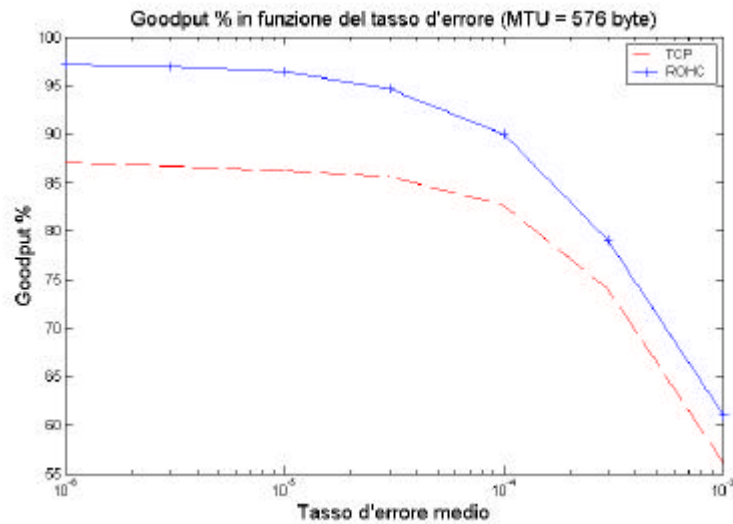
## Dimensione media dell'header (U-mode, MTU=296byte)



# Simulazioni scenario 1

## Goodput

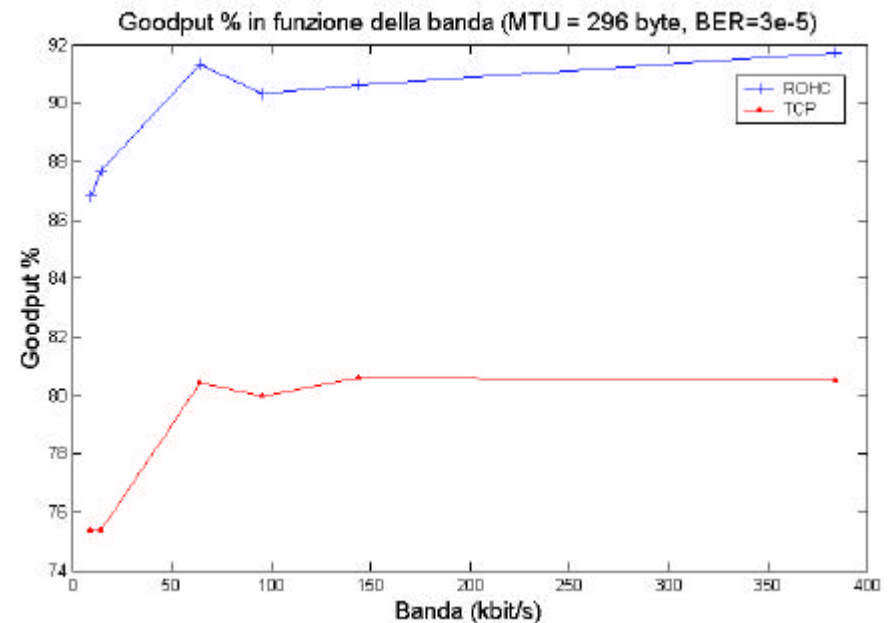
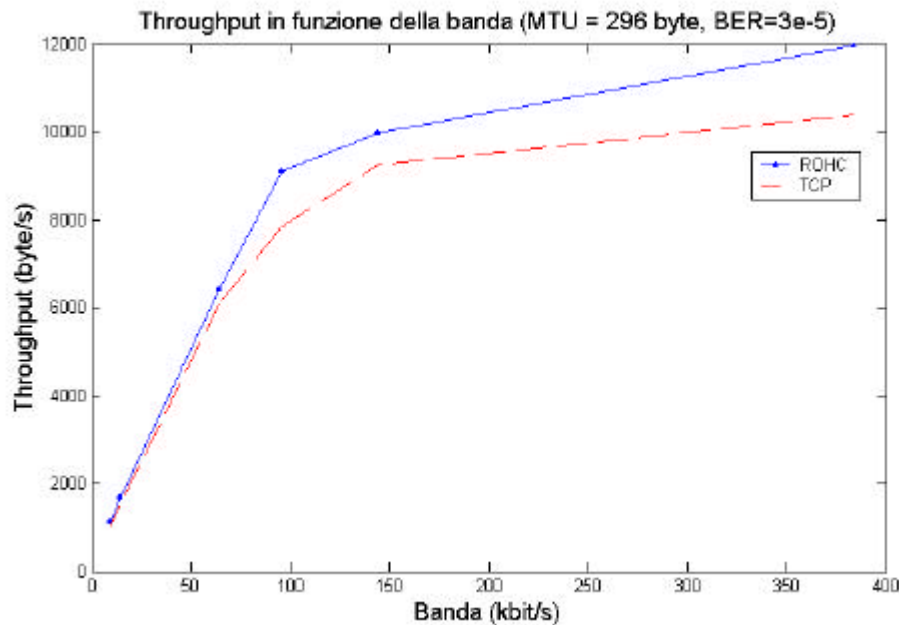
(U-mode, MTU=576,296,168byte)



$$Goodput(\%) = \frac{P_{recv}}{H_{fwd} + H_{ack} + P_{fwd}} \cdot 100$$

# Simulazioni scenario 1

Throughput e goodput in funzione della banda  
(U-mode, MTU=296byte, BER=3\*10<sup>-5</sup>)



Banda sul wireless:

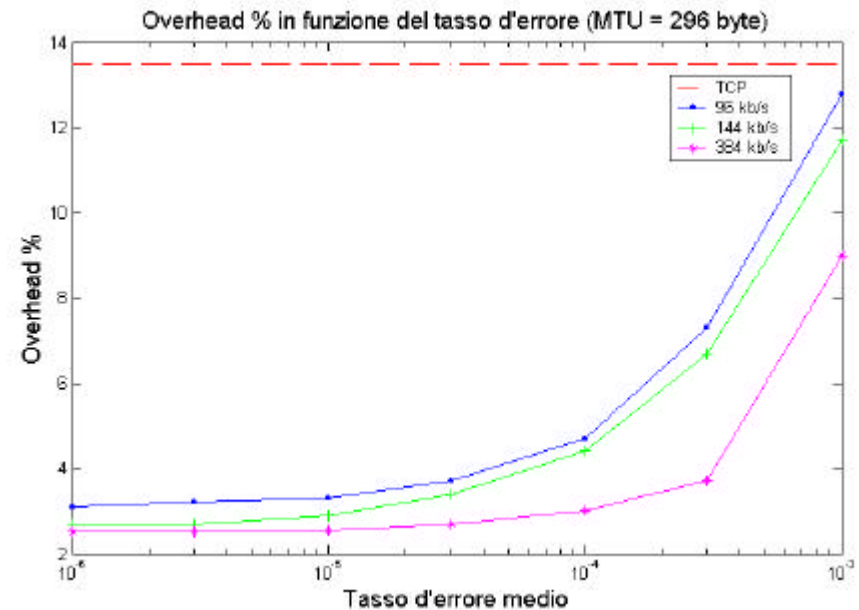
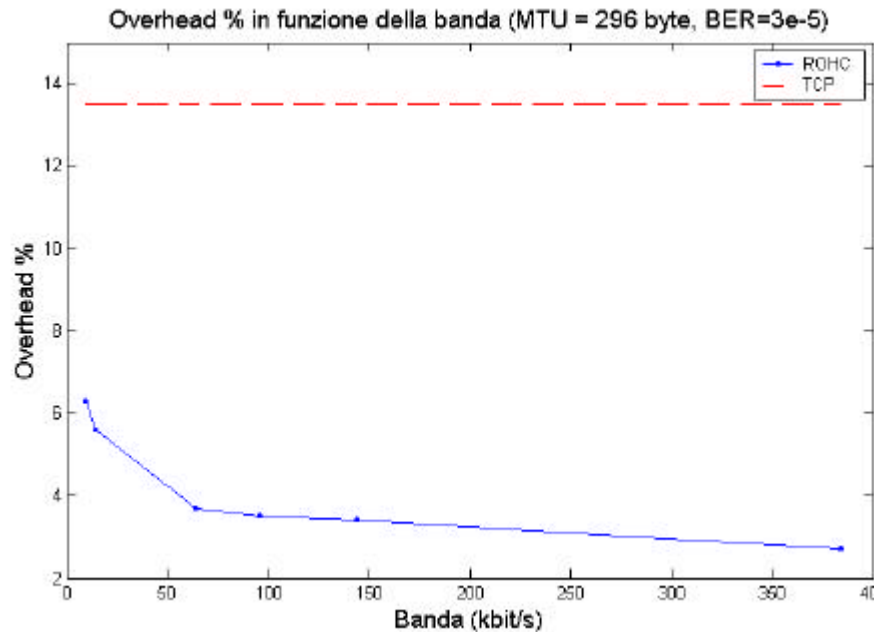
9.6 kb/s, 14.4 kb/s, 64 kb/s,

96 kb/s, 144kb/s, 384kb/s



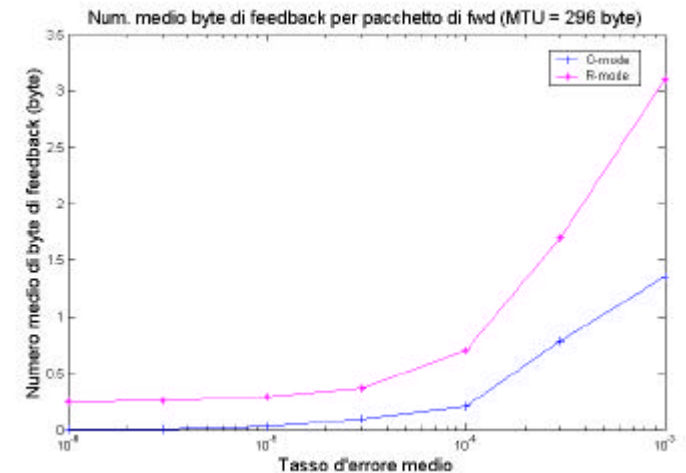
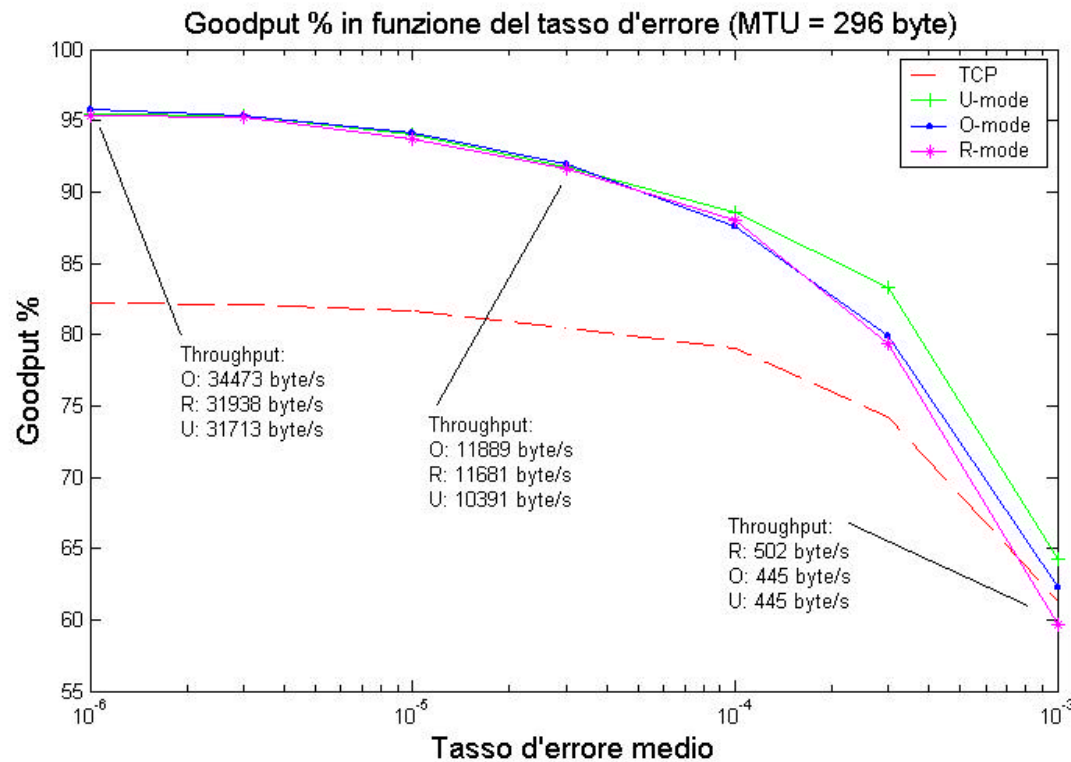
# Simulazioni scenario 1

## Overhead in funzione della banda (U-mode, MTU=296byte)



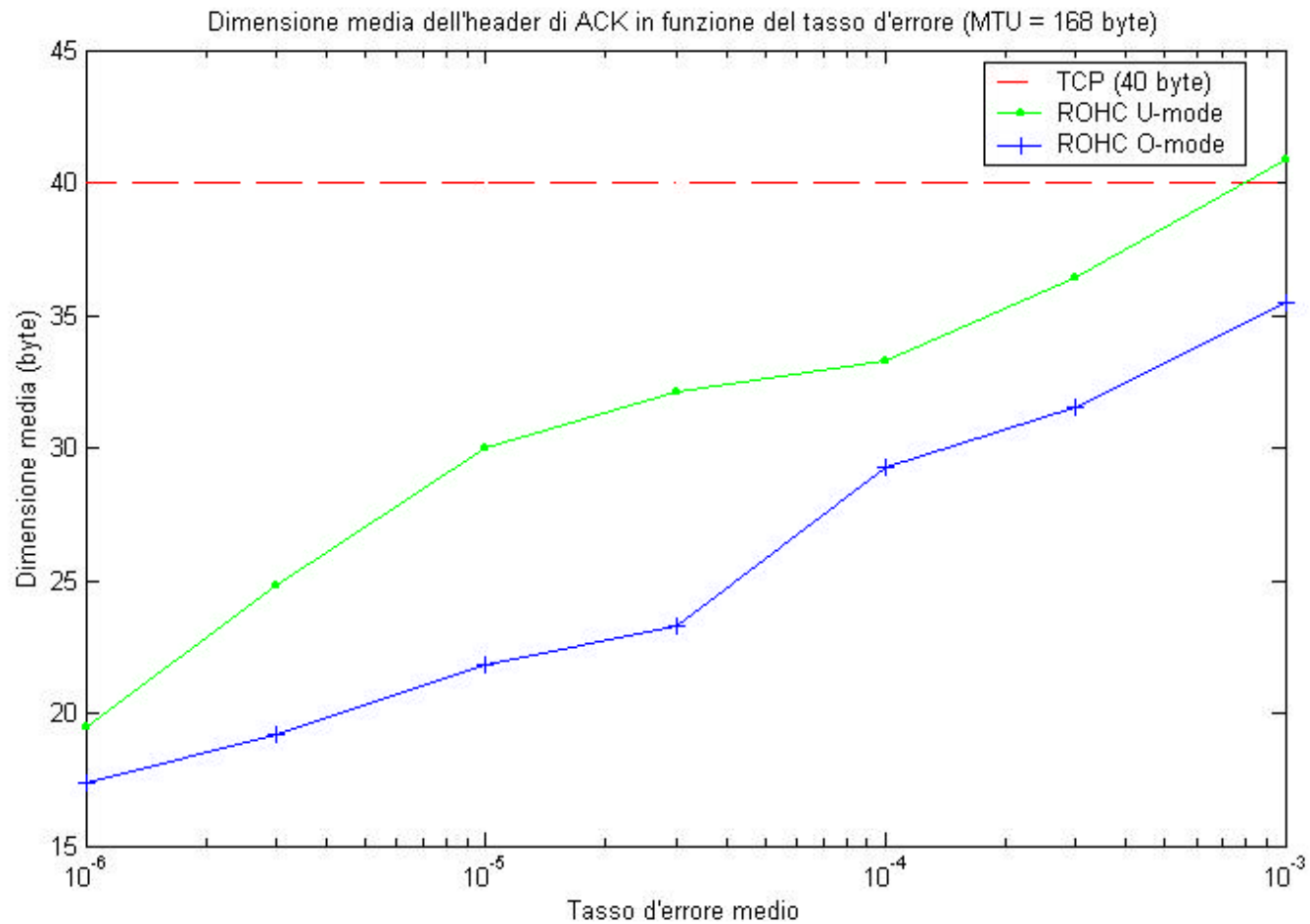
# Simulazioni scenario 1

## Throughput e Goodput (U/O/R-mode, MTU=296byte)



# Simulazioni scenario 1

## Dimensione media header ACK (U-mode, O-mode, MTU=168byte)



Canale wireless:  
64 kb/s, 100 ms



# Conclusioni

---

- ✎ Il comportamento dell'algoritmo appare decisamente **soddisfacente** per tassi d'errore non eccessivamente alti ( $BER < 10^{-4}$ )
  - ✎ Dimensione media header in condizioni favorevoli: ? 5 byte
  - ✎ Pochissime perdite di sincronizzazione (grazie alla tecnica W-LSB)
- ✎ Il **traffico degli ACK** compressi risente maggiormente degli elevati tassi d'errore (instabilità del campo ACK Number)
- ✎ Ci si attendono prestazioni ancora migliori con **IPv6** (sfruttando la notevole lunghezza dei campi statici)
- ✎ E' opportuno un meccanismo di **variazione dinamica** dei parametri di compressione, basato su opportune stime del canale sottostante



Fine presentazione

---

*Sandro Petrizzelli*